

Proteção de Software por Marcas d'água Baseadas em Grafos

Lucila Bento^{1,3}, Davidson Boccardo³, Raphael Machado³,
Vinícius Pereira de Sá¹, Jayme Szwarcfiter^{1,2,3}

Instituto de Matemática – Universidade Federal do Rio de Janeiro¹

COPPE – Universidade Federal do Rio de Janeiro²

INMETRO – Instituto Nacional de Metrologia, Qualidade e Tecnologia³

Roteiro

- 1 Motivação
- 2 Conceitos preliminares
- 3 Marca d'água de Chroni e Nikolopoulos
- 4 Recuperação de ataques
- 5 Resultados Computacionais

Marca d'água

- É uma marca distintiva impressa, usada para:

Marca d'água

- É uma marca distintiva impressa, usada para:
 - Identificação de propriedade



Marca d'água

- É uma marca distintiva impressa, usada para:
 - Identificação de propriedade
 - Identificação de autenticidade



Marca d'água

- É uma marca distintiva impressa, usada para:
 - Identificação de propriedade
 - Identificação de autenticidade



- Também é utilizada em objetos digitais

Marca d'água

- É uma marca distintiva impressa, usada para:
 - Identificação de propriedade
 - Identificação de autenticidade



- Também é utilizada em objetos digitais

Pode ser usada em software? Como?

Marca d'água em software

Marca d'água em software

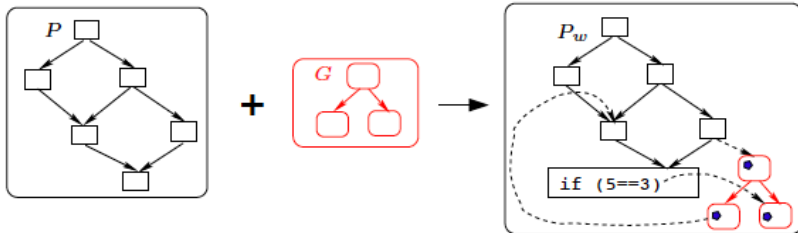
- Todo programa está associado a um grafo direcionado (grafo de fluxo de controle)

Marca d'água em software

- Todo programa está associado a um grafo direcionado (grafo de fluxo de controle)
- A ideia é inserir a marca d'água no grafo de fluxo

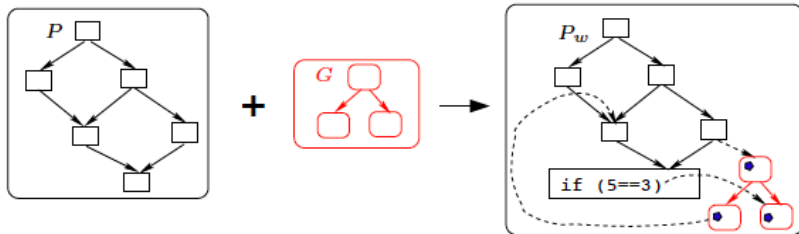
Marca d'água em software

- Todo programa está associado a um grafo direcionado (grafo de fluxo de controle)
- A ideia é inserir a marca d'água no grafo de fluxo



Marca d'água em software

- Todo programa está associado a um grafo direcionado (grafo de fluxo de controle)
- A ideia é inserir a marca d'água no grafo de fluxo



Propriedades da marca d'água aplicada a software:

- Difícil de identificar
- Não alterar a funcionalidade do software

Marcas d'água baseadas em grafos

O esquema é composto por:

Marcas d'água baseadas em grafos

O esquema é composto por:

- um algoritmo de codificação;
- um algoritmo de decodificação;
- uma função *embarcadora*;
- uma função *extratora*.

Ataques

Marcas d'água para software estão sujeitas a:

Ataques

Marcas d'água para software estão sujeitas a:

- ataques de adição;
- ataques de subtração;
- ataques de distorção;

Ataques

Marcas d'água para software estão sujeitas a:

- ataques de adição;
- ataques de subtração;
- ataques de distorção;

Criptografia e ofuscação podem ajudar a contornar os ataques de adição e subtração

Ataques

Marcas d'água para software estão sujeitas a:

- ataques de adição;
- ataques de subtração;
- ataques de distorção;

Criptografia e ofuscação podem ajudar a contornar os ataques de adição e subtração

Estamos interessados em ataques de distorção

Geração da marca d'água

Chave $\omega = 26$

Geração da marca d'água

Chave $\omega = 26$

$$B = 11010$$

Geração da marca d'água

Chave $\omega = 26$

$$\bar{B} = 00101$$

Geração da marca d'água

Chave $\omega = 26$

$$B^* = 11111001010$$

Geração da marca d'água

Chave $\omega = 26$

$$B^* = 11111001010$$

$$Z_0 = (6, 7, 9, 11)$$

Geração da marca d'água

Chave $\omega = 26$

$$B^* = 11111001010$$

$$Z_0 = (6, 7, 9, 11) \text{ e } Z_1 = (1, 2, 3, 4, 5, 8, 10)$$

Geração da marca d'água

Chave $\omega = 26$

$$B^* = 11111001010$$

$$Z_0 = (6, 7, 9, 11) \text{ e } Z_1 = (1, 2, 3, 4, 5, 8, 10)$$

$$P_b = (6, 7, 9, 11, 10, 8, 5, 4, 3, 2, 1)$$

Geração da marca d'água

Chave $\omega = 26$

$$B^* = 11111001010$$

$$Z_0 = (6, 7, 9, 11) \text{ e } Z_1 = (1, 2, 3, 4, 5, 8, 10)$$

$$P_b = (6, 7, 9, 11, 10, 8, 5, 4, 3, 2, 1)$$

Geração da marca d'água

Chave $\omega = 26$

$$B^* = 11111001010$$

$$Z_0 = (6, 7, 9, 11) \text{ e } Z_1 = (1, 2, 3, 4, 5, 8, 10)$$

$$P_b = (6, 7, 9, 11, 10, 8, 5, 4, 3, 2, 1)$$

Geração da marca d'água

Chave $\omega = 26$

$$B^* = 11111001010$$

$$Z_0 = (6, 7, 9, 11) \text{ e } Z_1 = (1, 2, 3, 4, 5, 8, 10)$$

$$P_b = (6, 7, 9, 11, 10, 8, 5, 4, 3, 2, 1)$$

Geração da marca d'água

Chave $\omega = 26$

$$B^* = 11111001010$$

$$Z_0 = (6, 7, 9, 11) \text{ e } Z_1 = (1, 2, 3, 4, 5, 8, 10)$$

$$P_b = (6, 7, 9, 11, 10, 8, 5, 4, 3, 2, 1)$$

Geração da marca d'água

Chave $\omega = 26$

$$B^* = 11111001010$$

$$Z_0 = (6, 7, 9, 11) \text{ e } Z_1 = (1, 2, 3, 4, 5, 8, 10)$$

$$P_b = (6, 7, 9, 11, 10, 8, 5, 4, 3, 2, 1)$$

Geração da marca d'água

Chave $\omega = 26$

$$B^* = 11111001010$$

$$Z_0 = (6, 7, 9, 11) \text{ e } Z_1 = (1, 2, 3, 4, 5, 8, 10)$$

$$P_b = (6, 7, 9, 11, 10, 8, 5, 4, 3, 2, 1)$$

Geração da marca d'água

Chave $\omega = 26$

$$B^* = 11111001010$$

$$Z_0 = (6, 7, 9, 11) \text{ e } Z_1 = (1, 2, 3, 4, 5, 8, 10)$$

$$P_b = (6, 7, 9, 11, 10, 8, 5, 4, 3, 2, 1)$$

$$P_s = (6, 7, 9, 11, 10, 1, 2, 8, 3, 5, 4)$$

Geração da marca d'água

Chave $\omega = 26$

$$B^* = 11111001010$$

$$Z_0 = (6, 7, 9, 11) \text{ e } Z_1 = (1, 2, 3, 4, 5, 8, 10)$$

$$P_b = (6, 7, 9, 11, 10, 8, 5, 4, 3, 2, 1)$$

$$P_s = (6, 7, 9, 11, 10, 1, 2, 8, 3, 5, 4)$$

Construindo o Grafo G :



Geração da marca d'água

Chave $\omega = 26$

$$B^* = 11111001010$$

$$Z_0 = (6, 7, 9, 11) \text{ e } Z_1 = (1, 2, 3, 4, 5, 8, 10)$$

$$P_b = (6, 7, 9, 11, 10, 8, 5, 4, 3, 2, 1)$$

$$P_s = (6, 7, 9, 11, 10, 1, 2, 8, 3, 5, 4)$$

Construindo o Grafo G :



Geração da marca d'água

Chave $\omega = 26$

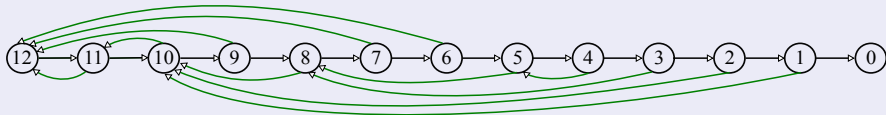
$$B^* = 11111001010$$

$$Z_0 = (6, 7, 9, 11) \text{ e } Z_1 = (1, 2, 3, 4, 5, 8, 10)$$

$$P_b = (6, 7, 9, 11, 10, 8, 5, 4, 3, 2, 1)$$

$$P_s = (6, 7, 9, 11, 10, 1, 2, 8, 3, 5, 4)$$

Construindo o Grafo G :



Geração da marca d'água

Chave $\omega = 26$

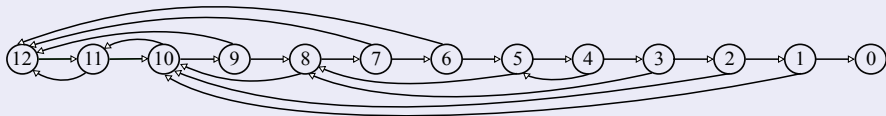
$$B^* = 11111001010$$

$$Z_0 = (6, 7, 9, 11) \text{ e } Z_1 = (1, 2, 3, 4, 5, 8, 10)$$

$$P_b = (6, 7, 9, 11, 10, 8, 5, 4, 3, 2, 1)$$

$$P_s = (6, 7, 9, 11, 10, 1, 2, 8, 3, 5, 4)$$

Construindo o Grafo G :



Caracterização

Caracterização da família de grafos gerados pelo codec de Chroni e Nikolopoulos

Caracterização

Caracterização da família de grafos gerados pelo codec de Chroni e Nikolopoulos

- Grafos de permutação redutíveis auto-rotuláveis
- Árvores representativas
 - Tipo 1
 - Tipo 2
- Percurso em pré-ordem sem raiz
- Permutação auto-inversível canônica
- Grafos de permutação redutíveis canônicos

Algoritmos

Algoritmos

- A caracterização permite o reconhecimento de um grafo da classe em tempo linear

Algoritmos

- A caracterização permite o reconhecimento de um grafo da classe em tempo linear
- Possibilita algoritmo mais rápido de decodificação

Algoritmos

- A caracterização permite o reconhecimento de um grafo da classe em tempo linear
- Possibilita algoritmo mais rápido de decodificação
- Algoritmo linear para recuperação de marca d'água que sofreu a remoção de k arestas, $k \leq 2$

Algoritmos

- A caracterização permite o reconhecimento de um grafo da classe em tempo linear
- Possibilita algoritmo mais rápido de decodificação
- Algoritmo linear para recuperação de marca d'água que sofreu a remoção de k arestas, $k \leq 2$
- Algoritmos polinomiais para recuperação de marca d'água que sofreu a remoção de k arestas

Recuperação de k arestas

Algoritmo 1

Entrada: estrutura da marca d'água danificada G'

Saída: lista das marcas d'água candidatas

Passo 1 cria uma lista L vazia

Passo 2 determina o número k de arestas removidas

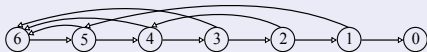
Passo 3 para cada conjunto K de k não-arestas de G'

Passo 3.1 adiciona K a G'

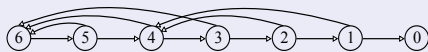
Passo 3.2 verifica se a marca d'água obtida é válida

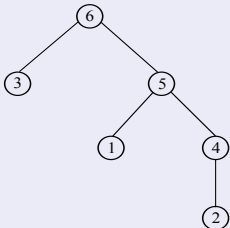
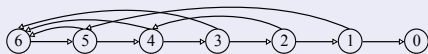
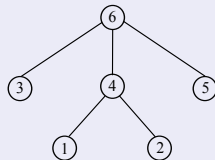
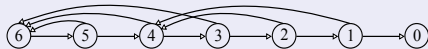
Passo 3.3 se a marca d'água for válida, adiciona a L

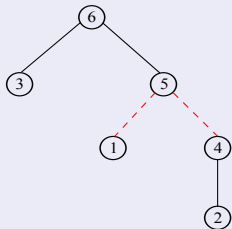
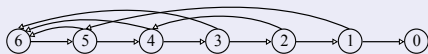
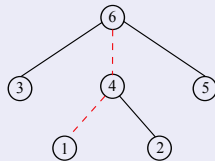
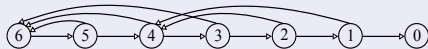
$$\omega = 2 \text{ e } B = 10$$

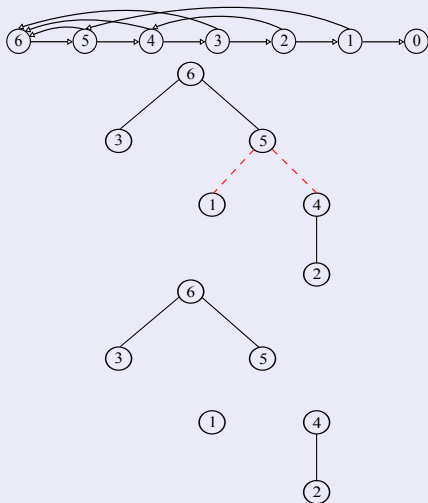
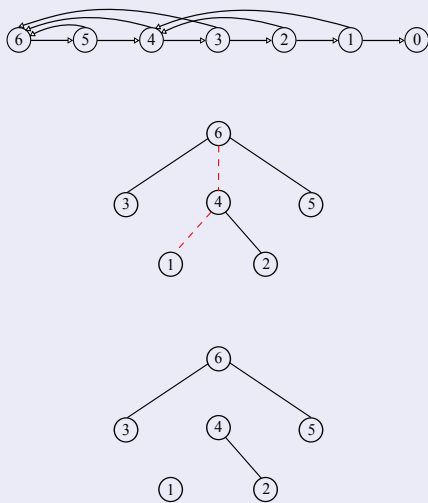


$$\omega = 3 \text{ e } B = 11$$



$\omega = 2$ e $B = 10$  $\omega = 3$ e $B = 11$ 

$\omega = 2$ e $B = 10$  $\omega = 3$ e $B = 11$ 

$\omega = 2$ e $B = 10$  $\omega = 3$ e $B = 11$ 

Recuperação de k arestas

Algoritmo 1

Entrada: estrutura da marca d'água danificada G'

Saída: lista das marcas d'água candidatas

Passo 1 cria uma lista L vazia

Passo 2 determina o número k de arestas removidas

Passo 3 para cada conjunto K de k não-arestas de G'

Passo 3.1 adiciona K a G'

Passo 3.2 verifica se a marca d'água obtida é válida

Passo 3.3 se a marca d'água for válida, adiciona a L

Complexidade: Há $\binom{(2n+3)(2n+2)/2 - (4n+3-k)}{k} = O(n^{2k})$ subconjuntos de não arestas de G' . Logo, a complexidade é $O(n^{2k}) \cdot O(n) = O(n^{2k+1})$.

Recuperação de k arestas

Algoritmo 1 — aprimorado

Entrada: estrutura da marca d'água danificada G'

Saída: lista das marcas d'água candidatas

Passo 1 cria um lista L vazia

Passo 2 determina o número k de arestas removidas de G

Passo 3 para cada conjunto de k origens possíveis

Passo 3.1 escolhemos k origens

Passo 3.2 escolhemos o destino de cada uma das k arestas

Passo 3.3 verificamos se a marca d'água obtida é válida

Passo 3.4 adicionamos a marca d'água a L caso seja válida

Recuperação de k arestas

Algoritmo 1 — aprimorado

Entrada: estrutura da marca d'água danificada G'

Saída: lista das marcas d'água candidatas

Passo 1 cria um lista L vazia

Passo 2 determina o número k de arestas removidas de G

Passo 3 para cada conjunto de k origens possíveis

Passo 3.1 escolhemos k origens

Passo 3.2 escolhemos o destino de cada uma das k arestas

Passo 3.3 verificamos se a marca d'água obtida é válida

Passo 3.4 adicionamos a marca d'água a L caso seja válida

Complexidade: $|M^*| = 2 \cdot (2n + 3) - (4n + 3 - k) = k + 3$.

Recuperação de k arestas

Algoritmo 1 — aprimorado

Entrada: estrutura da marca d'água danificada G'

Saída: lista das marcas d'água candidatas

Passo 1 cria um lista L vazia

Passo 2 determina o número k de arestas removidas de G

Passo 3 para cada conjunto de k origens possíveis

Passo 3.1 escolhemos k origens

Passo 3.2 escolhemos o destino de cada uma das k arestas

Passo 3.3 verificamos se a marca d'água obtida é válida

Passo 3.4 adicionamos a marca d'água a L caso seja válida

Complexidade: $|M^*| = 2 \cdot (2n + 3) - (4n + 3 - k) = k + 3$. Cada origem é escolhida de $\binom{|M^*|}{k} = O(k^3)$ maneiras e tem $O(n)$ destinos possíveis.

Recuperação de k arestas

Algoritmo 1 — aprimorado

Entrada: estrutura da marca d'água danificada G'

Saída: lista das marcas d'água candidatas

Passo 1 cria um lista L vazia

Passo 2 determina o número k de arestas removidas de G

Passo 3 para cada conjunto de k origens possíveis

Passo 3.1 escolhemos k origens

Passo 3.2 escolhemos o destino de cada uma das k arestas

Passo 3.3 verificamos se a marca d'água obtida é válida

Passo 3.4 adicionamos a marca d'água a L caso seja válida

Complexidade: $|M^*| = 2 \cdot (2n + 3) - (4n + 3 - k) = k + 3$. Cada origem é escolhida de $\binom{|M^*|}{k} = O(k^3)$ maneiras e tem $O(n)$ destinos possíveis. Logo, a complexidade é $O(k^3) \cdot O(n^k) \cdot O(n) = O(k^3 \cdot n^{k+1})$.

Recuperação de k arestas

Algoritmo 2

Entrada: $G' = (V, E')$ e os rótulos de $v \in V$

Saída: lista das marcas d'água candidatas

Passo 1 cria um lista L vazia

Passo 2 cria uma lista M com a raiz de cada componente conexa diferente de $2n + 2$

Passo 3 para cada $R = \{e_1, \dots, e_k\}$, com $e_i = (v_i, w) \notin E'$, $v_i \in M$, $v_i < w \in V (i = 1, \dots, k)$

Passo 3.1 verifica se $G(V, E' \cup R)$ é uma marca d'água e adiciona a L

Recuperação de k arestas

Algoritmo 2

Entrada: $G' = (V, E')$ e os rótulos de $v \in V$

Saída: lista das marcas d'água candidatas

Passo 1 cria um lista L vazia

Passo 2 cria uma lista M com a raiz de cada componente conexa diferente de $2n + 2$

Passo 3 para cada $R = \{e_1, \dots, e_k\}$, com $e_i = (v_i, w) \notin E'$, $v_i \in M$, $v_i < w \in V (i = 1, \dots, k)$

Passo 3.1 verifica se $G(V, E' \cup R)$ é uma marca d'água e adiciona a L

Complexidade: Cada uma das k origens tem $O(n)$ destinos possíveis.

Recuperação de k arestas

Algoritmo 2

Entrada: $G' = (V, E')$ e os rótulos de $v \in V$

Saída: lista das marcas d'água candidatas

Passo 1 cria um lista L vazia

Passo 2 cria uma lista M com a raiz de cada componente conexa diferente de $2n + 2$

Passo 3 para cada $R = \{e_1, \dots, e_k\}$, com $e_i = (v_i, w) \notin E'$, $v_i \in M$, $v_i < w \in V (i = 1, \dots, k)$

Passo 3.1 verifica se $G(V, E' \cup R)$ é uma marca d'água e adiciona a L

Complexidade: Cada uma das k origens tem $O(n)$ destinos possíveis. Logo, temos $O(n^k) \cdot O(n) = O(n^{k+1})$.

Recuperação do caminho hamiltoniano

- O algoritmo de menor complexidade utiliza os rótulos

Mas quão razoável é assumir que os rótulos estão disponíveis?

- O caminho hamiltoniano está intacto
- Os rótulos estão explicitados nos blocos do código associados aos vértices do grafo
- É possível recuperar o caminho hamiltoniano

Recuperação do caminho hamiltoniano

- O algoritmo de menor complexidade utiliza os rótulos

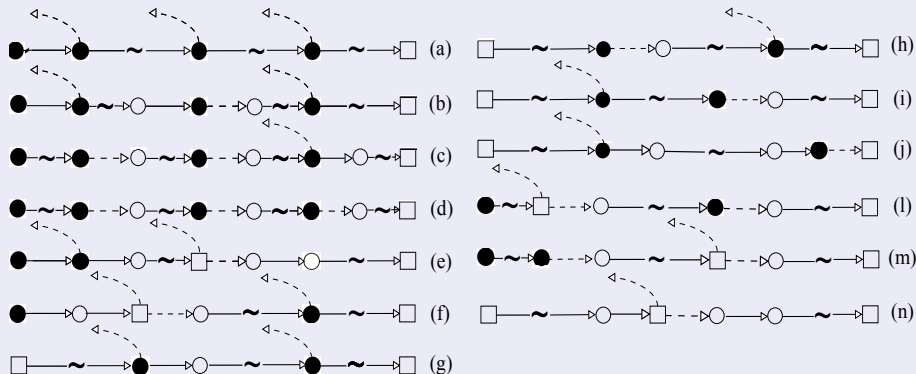
Mas quão razoável é assumir que os rótulos estão disponíveis?

- O caminho hamiltoniano está intacto
- Os rótulos estão explicitados nos blocos do código associados aos vértices do grafo
- É possível recuperar o caminho hamiltoniano

Temos um algoritmo linear que recupera o caminho hamiltoniano após a remoção de até duas arestas [1]

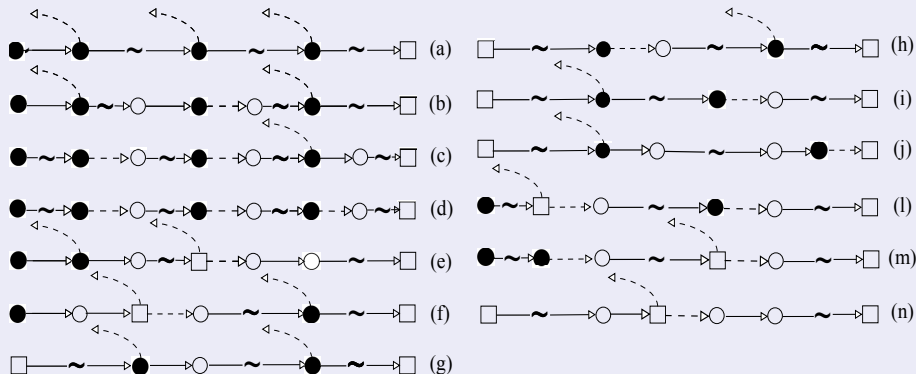
Recuperação do caminho hamiltoniano

Casos analisados – 3 arestas removidas



Recuperação do caminho hamiltoniano

Casos analisados – 3 arestas removidas



Complexidade: Cada subcaminho é computado em tempo $|H(v_i)|$. Logo, o algoritmo roda em tempo $O(n)$.

Resultados computacionais

- As marcas d'água utilizadas nos testes compreendem:
 - 1 todas no intervalo $[2^4, 2^5 - 1]$ e $[2^9, 2^{10} - 1]$
 - 2 10 mil escolhidas aleatória e uniformemente no intervalo $[2^{19}, 2^{20} - 1]$
 - 3 10 mil escolhidas aleatória e uniformemente no intervalo $[2^{29}, 2^{30} - 1]$
 - 4 10 mil escolhidas aleatória e uniformemente no intervalo $[2^{99}, 2^{100} - 1]$

Resultados computacionais

- As marcas d'água utilizadas nos testes compreendem:
 - 1 todas no intervalo $[2^4, 2^5 - 1]$ e $[2^9, 2^{10} - 1]$
 - 2 10 mil escolhidas aleatória e uniformemente no intervalo $[2^{19}, 2^{20} - 1]$
 - 3 10 mil escolhidas aleatória e uniformemente no intervalo $[2^{29}, 2^{30} - 1]$
 - 4 10 mil escolhidas aleatória e uniformemente no intervalo $[2^{99}, 2^{100} - 1]$
- Primeiro teste: comparação de desempenho
- Segundo teste: compreensão da resiliência diante de ataques de distorção

Comparativo dos algoritmos de decodificação

Chroni et al. [2] x Bento et al. [1]

n	alg. Chroni et al. (sem remoções)	alg. Bento et al. (sem remoções)	alg. Bento et al. (-1 aresta)	alg. Bento et al. (-2 arestas)
5	82.2 (4.4) μ s	56.5 (3.2) μ s	63.9 (6.7) μ s	78.0 (16.4) μ s
10	132.3 (9.3) μ s	95.7 (5.8) μ s	104.2 (9.4) μ s	122.8 (24.8) μ s
20	240.9 (11.8) μ s	177.5 (9.7) μ s	190.7 (17.4) μ s	219.9 (44.9) μ s
30	357.7 (14.4) μ s	268.9 (13.2) μ s	281.3 (18.2) μ s	328.1 (66.0) μ s
100	1406.7 (45.7) μ s	1135.4 (39.5) μ s	1151.2 (89.8) μ s	1248.5 (260.4) μ s

Resiliência da marca d'água de Chroni e Nikolopoulos

n (bits)	$p(n, 3)$	$p(n, 4)$	$p(n, 5)$
3	5.71429%	8.57143%	33.33333%
4	2.38095%	2.57937%	5.09607%
5	1.21212%	1.93182%	2.91899%
6	0.69930%	1.23876%	1.92696%
7	0.43956%	0.76190%	1.21360%
8	0.29412%	0.47731%	0.75934%
9	0.20640%	0.30999%	0.48427%
10	0.15038%	0.20897%	0.31842%
11	0.11293%	0.14571%	0.21637%
12	0.08696%	0.10463%	0.15169%
13	0.06838%	0.07707%	0.10939%
14	0.05473%	0.05803%	0.08086%
15	0.04449%	0.04453%	0.06108%

Probabilidade $p(n, k)$ de uma marca d'água se tornar irrecuperável após a remoção de k arestas.

Trabalhos futuros

- Recuperação do caminho hamiltoniano para $k \geq 3$
- Marcas d'água randomizadas
- Uso de código de detecção e correção de erro
 - Reed-Solomon

Obrigado!

Proteção de Software por Marcas d'água Baseadas em Grafos

Lucila Bento^{1,3}, Davidson Boccardo³, Raphael Machado³,
Vinícius Pereira de Sá¹, Jayme Szwarcfiter^{1,2,3}

Instituto de Matemática – Universidade Federal do Rio de Janeiro¹

COPPE – Universidade Federal do Rio de Janeiro²

INMETRO – Instituto Nacional de Metrologia, Qualidade e Tecnologia³

Bibliografia

-  L. Bento, D. Boccardo, R. Machado, V. Pereira de Sá, J. Szwarcfiter (2013). Towards a provably robust scheme for graph-based software watermarking.
<http://arxiv.org/abs/1302.7262>.
-  M. Chroni and S.D. Nikolopoulos, Encoding watermark numbers as cographs using selfinverting permutations, 12th Int'l Conference on Computer Systems and Technologies, CompSysTech'11, ACM ICPS 578 (2011), 142–148 (Best Paper Award).
-  M. Chroni and S.D. Nikolopoulos, An efficient graph codec system for software watermarking, 36th IEEE Conference on Computers, Software and Applications (COMPSAC'12), IEEE Proceedings (2012), 595–600.
-  C. Collberg, A. Huntwork, E. Carter, G. Townsend and M. Stepp, More on graph theoretic software watermarks: implementation,

analysis and attacks, *Information and Software Technology* 51 (2009), 56–67.



C. Collberg, S. Kobourov, E. Carter and C. Thomborson, Error-correcting graphs for software watermarking, *29th Workshop on Graph-Theoretic Concepts in Computer Science, WG'03, LNCS 2880* (2003), 156–167.



R. L. Davidson and N. Myhrvold, Method and system for generating and auditing a signature for a computer program, *US Patent 5.559.884, Microsoft Corporation* (1996).



J. Zhu, Y. Liu and K. Yin, A novel dynamic graph software watermark scheme, *1st Int'l Workshop on Education Technology and Computer Science 3* (2009), 775–780.



R. Venkatesan, V. Vazirani, S. Sinha, A graph theoretic approach to software watermarking, *4th International Information Hiding Workshop* (2001), 157–168.